

# بررسی تأثیر اینترسپتور بر ضرایب هیدرودینامیکی معادلات حرکت طولی شناورهای کاتاماران پروازی

امین نجفی<sup>۱\*</sup>، محمد سعید سیف<sup>۲</sup>

<sup>۱</sup> دانشجوی دکتری، دانشگاه صنعتی شریف، قطب علمی هیدرودینامیک و دینامیک متجرکهای دریایی، najaifi.sharif@yahoo.com

<sup>۲</sup> استاد، دانشگاه صنعتی شریف، قطب علمی هیدرودینامیک و دینامیک متجرکهای دریایی، seif@sharif.edu

(تاریخ دریافت: ۹۵/۴/۲۷؛ تاریخ پذیرش: ۹۵/۵/۱۲)

## چکیده

شناخت دینامیک شناورهای تندره در آب آرام و امواج، حائز اهمیت فراوان است. با تعیین ضرایب معادلات حرکت، می‌توان دینامیک شناور و عوامل مؤثر بر ناپایداری آن را شناخت و در جهت کنترل این ناپایداری‌ها اقدام کرد. هدف اصلی در این پژوهش تعیین ضرایب هیدرودینامیکی حرکت طولی شناورهای تندره کاتاماران با استفاده از CFD و همچنین پاسخ به این سؤال که المان کنترلی اینترسپتور چه تأثیری بر ضرایب هیدرودینامیکی شناور کاتاماران تندره دارد، است. تعیین ضرایب هیدرودینامیکی بهروش تجربی هزینه‌بر بوده و نیاز به تجهیزات آزمایشگاهی دقیق دارد، بنابراین استخراج این ضرایب بهروش عددی و ایجاد آزمایشگاه مجازی می‌تواند مفید باشد. در این تحقیق به استخراج ضرایب هیدرودینامیکی یک کاتاماران بدون و با اینترسپتور پرداخته شده‌است. نتایج، نشان‌دهنده مستقل بودن اکثربی ضرایب از فرکانس، بهخصوص در فرکانس‌های بالا است. همچنین تأثیر اینترسپتور بر ضرایب نیز در فرکانس‌های مختلف به جز موارد اندکی قابل چشم‌پوشی می‌باشد.

## کلمات کلیدی:

ضرایب هیدرودینامیکی، کاتاماران، اینترسپتور، دینامیک سیالات محاسباتی

## Assessment of Interceptor Effect on Hydrodynamic Coefficients of Longitudinal Equations of Motion of Planing Catamarans

Amin Najafi<sup>\*1</sup>, Mohammad Saeed Seif<sup>2</sup>

<sup>1</sup> Ph.D. student, Center of Excellence in Hydrodynamic and Dynamic of Marine Vehicles, Sharif University of Technology; Najaifi.sharif@yahoo.com

<sup>2</sup> Professor, Center of Excellence in Hydrodynamic and Dynamic of Marine Vehicles, Sharif University of Technology; seif@sharif.edu  
(Submitted: 2016/Jul/17; Accepted: 2016/Aug/2)

### Abstract:

Understanding the dynamics and behavior of high speed crafts, in calm water and waves is of vital importance. Determination of coefficients of equations of motion helps recognition of dynamics of high speed crafts and the factors affecting their instabilities which can be useful in controlling these instabilities. The main purposes of this research are determining the coefficients of longitudinal motions of planing catamarans using CFD and evaluating the Interceptor effect on hydrodynamic coefficients of a planing catamaran. Determination of hydrodynamic coefficients using experimental approaches is remarkably expensive, and requires precise laboratory equipment; therefore, using numerical method for hydrodynamic coefficients determination and development of a visual laboratory seems highly efficient. In this research the interceptor effect on hydrodynamic coefficients of a planing catamaran is evaluated. Results indicate most of the coefficients are frequency independence especially for high frequencies. Also, interceptor effect on hydrodynamic coefficients in different frequencies is negligible except for a few cases.

### Keywords

Hydrodynamic Coefficients catamaran, Interceptor, Computational Fluid Dynamics

شناور تندرو را با نتایج حاصل از یک برنامه کامپیوتری که برای شناورهای جابجایی استفاده می‌شود، مقایسه کردند [۱۱]. پین در سال ۱۹۹۰ با استفاده از تجربه بالای خود در زمینه شناورهای تندرو، نرم‌افزار شبیه‌ساز حرکات یک شناور پروازی را در امواج تصادفی از رو برو و پشت نوشت. ضرایب هیدرودینامیکی بر پایه تئوری نواری دو بعدی تعیین شدند [۱۲].

امروزه بررسی عملکرد دریامانی این شناورهای تندرو، ترکیبی از روش‌های تجربی و تحلیلی می‌باشد. آزمایش‌ها شامل تست‌های جرم افزوده و میرایی یا بررسی حرکات در امواج تصادفی و منظم می‌باشد. روش‌های تحلیلی می‌تواند شامل دینامیک غیرخطی که در آن ضرایب هیدرودینامیکی بر پایه تئوری نواری نیروی ثقل صفر یا استفاده از تئوری خطی شناورهای معمولی تعیین می‌شوند. دلیل استفاده از تئوری‌های خطی شناورهای پروازی در دسترس بودن برنامه‌های کامپیوترا نوشته شده بر اساس این روش‌ها است. ساویتسکی و وايت در سال ۱۹۸۸ نشان دادند که این برنامه برای سرعت‌های پایین زیر حالت پروازی قابل استفاده‌اند. ولی با افزایش سرعت شناور میزان خطای این برنامه‌ها نیز افزایش می‌یابد. در سال ۱۹۹۲ آرمنی تروش، ضرایب هیدرودینامیکی را به صورت تجربی تعیین کرد. تروش نشان داد که سطح خیس‌شده شناور پروازی وابسته به زمان و ضرایب هیدرودینامیکی وابسته به فرکانس می‌باشد [۱۳]. در سال ۱۹۹۴ گریگوریوپولوس و فلوریوس و لوکاکیس با استفاده از نتایج به دست آمده از ثبت حرکات شناور در حوضچه کشش به بررسی تجربی و عددی تأثیر امواج گذرا و منظم بر حرکات شناور تغیری و مقایسه‌ی بین نتایج دو موج پرداختند [۱۴]. در سال ۱۹۹۷ جورنی با استفاده از نتایج به دست آمده از حوضچه کشش به بررسی تأثیر امواج سطحی بر حرکات شناور و مقاومت اضافه مدل شناور کانتینربر پرداخت [۱۵]. کلاکا و مک‌کوک و پاتریک کوسر در سال ۱۹۹۹ به بررسی حرکات هیو و پیچ شناور در امواج منظم پرداخته‌اند [۱۶]. تحقیقات اخیر برای پیش‌بینی حرکات شناور، بر پایه روش‌هایی قرار داده شده است که ویسکوزیته جریان را در نظر می‌گیرند. روش‌های عدی بر

شناورهای پروازی به شناورهایی گفته می‌شود که دارای عدد فرود عرضی بزرگ‌تر از ۱ می‌باشد. در حالی که پیشرفت‌های زیادی در زمینه بررسی دریامانی شناورهای جابجایی صورت گرفته است، در مورد شناورهای تندرو، پیشرفت چندانی صورت نگرفته است که این امر، ناشی از عملکرد هیدرودینامیکی پیچیده شناورهای تندرو است. بررسی‌های صورت گرفته در راستای عملکرد هیدرودینامیکی شناورهای تندرو به بررسی دینامیک این شناورها منتهی شده است. در این راستا تعیین ضرایب هیدرودینامیکی معادلات دینامیک حرکت شناورهای تندرو از ضرورت‌های بررسی عملکرد هیدرودینامیکی شناورهای تندرو است. متأسفانه این ضرایب برخلاف شناورهای معمولی، به صورت غیرخطی تابعی از حرکات شناور به علاوه سرعت آن می‌باشد.

دینامیک شناورهای تندرو به وسیله محققین اندکی موردنرسی قرار گرفته است و همین بررسی، نشان‌دهنده تفاوت زیاد روش‌های مختلف به کار گرفته در حل مسئله است. در سال ۱۹۶۷ اچسو روش تئوری نواری را برای بررسی حرکت حالت پایا و نیمه‌پایای سطح‌های پروازی سه‌بعدی فرموله کرده است [۱]. آلتمن در سال ۱۹۶۸ بر روی یک شناور منشوری، آزمایش‌های نوسانات اجباری را انجام داده است [۲]. فریدزما از سال ۱۹۶۹ تا سال ۱۹۷۱ آزمایش‌های گسترده‌ای را بر روی یک سری از شناورها با زاویه ددرایز ثابت در امواج منظم و نامنظم انجام داد [۳، ۴]. اگلیوی و شن در سال ۱۹۷۳ پایداری دینامیکی یک صفحه پروازی دو بعدی را بررسی کردند. این محققین مسئله را به صورت دو بعدی در نظر گرفتند که در آن تغییرات سطح خیس‌شده به صورت یک درجه آزادی عمل می‌کرد [۵]. دی ژان تست-های نوسانات اجباری را بر روی یک شناور پروازی در سرعت‌های مختلف در سال ۱۹۷۳ انجام داد [۶]. مارتین در سال ۱۹۷۸ به گسترش روابط ریاضی جهت بررسی پایداری پروپویزینگ و حرکات خطی کوپل شده هیو و پیچ و سرج در امواج به کمک تئوری نواری پرداخت [۷، ۸]. تئوری مارتین برای تعیین ضرایب هیدرودینامیکی بر پایه تقریب جسم لاغر مانک (۱۹۲۴) [۹] و آنالیز تأثیر نیروی ثقل صفر واگنر (۱۹۳۱) [۱۰] می‌باشد. در سال ۱۹۸۸ وايت و ساویتسکی نتایج تجربی مقاومت و ویژگی‌های دریامانی دو

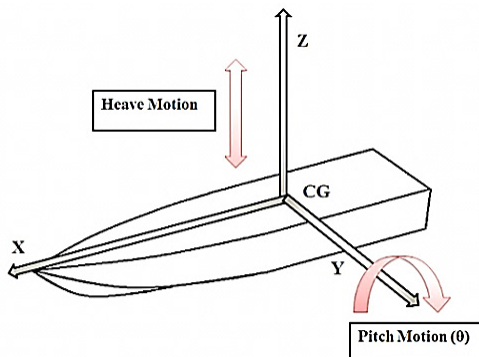
معادلات RANS و جریان پتانسیل غیرخطی را با نتایج به دست آمده از روش پتانسیل بدنی-دقیق با شرایط سطح آزاد خطی مقایسه کرد [۳۰]. توکلی و همکاران با استفاده از الگوریتم ژنتیک و روش ساویتسکی به بهینه سازی مقاومت و حرکات شناور تندرو پرداختند [۳۱]. قدیمی و همکاران (۲۰۱۳) روش زارنیک را برای حرکات شش درجه آزادی شناور تندرو گسترش دادند. [۳۲]

با توجه به مقدمه بیان شده در بالا در ادامه با استفاده از روش های عددی بر پایه معادلات RANS به استخراج ضرایب هیدرودینامیکی شناورهای تندرو پرداخته می شود. روش استفاده شده جهت تعیین ضرایب هیدرودینامیکی بر اساس روش تروش (۱۹۹۲) و جورنی (۱۹۹۲) [۱۵، ۱۳] است. جهت انجام اعتبارسنجی، روش ارائه شده در این تحقیق، به مدل سازی شناور تندرو تک بدن استفاده شده توسط تروش (۱۹۹۲) پرداخته و پس از محاسبه ضرایب هیدرودینامیکی این شناور با استفاده از روش حاضر و مقایسه آن با نتایج تجربی تروش (۱۹۹۲) توافق خوبی بین نتایج تحقیق حاضر با نتایج آقای تروش مشاهده می شود. سپس از این روش یکسان جهت بررسی ضرایب هیدرودینامیکی یک کاتاماران مجهز به اینترسپتور و تأثیر تغییرات فرکانس و سرعت بر این ضرایب استفاده می شود. استفاده از اینترسپتورها بر روی بال هواپیماها، موشک ها برای تولید نیروی لیفت و کنترل ارتفاع موفقیت آمیز است. ایده اولیه استفاده از اینترسپتورها در شناورهای تندرو از همین موفقیت ناشی شده است. در شناورهایی که از سیستم رانش واتر جت<sup>۲</sup> استفاده می کنند و یا شناورهای پلنینگ، ممکن است به علت کمبود سطح آبخور دچار عدم پایداری گردد. این عدم پایداری به وسیله ای نصب سیستم های کنترل غیرفعال و یا فعال جبران می شد. ولی به علت نیروی درگ و همچنین عدم وجود فضای لازم برای سیستم های رایج، طراحان رو به استفاده از اینترسپتورها آورند (شکل ۱). کارافیس و فیشر نشان دادند که استفاده از ملحقاتی مشابه اینترسپتور می تواند ۰/۴ الی ۲ درجه از تریم در حال حرکت بکاهد و ۰/۲٪ از مصرف سوخت در سرعت طراحی نیز کم کند [۳۳]. نتایج حاصله از آزمایش ها در مقیاس واقعی کاهش مقاومت را نشان می دهد. کاهش مقاومت نیز منجر

پایه معادلات<sup>۱</sup> RANS جزء مؤثر ترین و بهترین روش ها برای پیش بینی حرکات شناور است. در این روش معادلات ناویر-استوکس در یک شبکه محاسباتی به همراه یک مدل توربولانسی حل می شوند. حجم زیادی از این شبیه سازی ها بر پایه معادلات RANS مربوط به آنالیز حرکت رول، به علت تأثیر زیاد ویسکوزیته بر این حرکت و نتایج ضعیف تئوری نواری است. مثال های سه بعدی شبیه سازی حرکت رول در چن و همکاران (۲۰۰۱) [۱۷] برای یک شناور در حال رول و نیز در میلر و همکاران (۲۰۰۲) [۱۸] داده شده است. به هر حال نباید هدف شبیه سازی حرکات شش درجه آزادی شناور در جریان ویسکوز را فراموش کرد. انجام تحقیقات کامل بر روی مدل سازی صفحه عمودی حرکات شناور در جریان ویسکوز، مرحله اول خواهد بود. کارهای قبلی بر روی شبیه سازی سه بعدی حرکات صفحات عمودی شامل ساتو و همکاران (۱۹۹۹) [۱۹] که نتایج شبیه سازی را برای شناور نوع ویگلی و بدن های سری ۶۰ ارائه دادند و کورا هاچبام و همکاران (۲۰۰۲) [۲۰] که نتایج شبیه سازی برای بدن های سری ۶۰ و شناور کانتیبرر ارائه دادند، اما هیچ کدام از این دو نه تنها آنالیز کاملی را ارائه ندادند، بلکه فاقد اعتبارسنجی و مطالعه بر روی پارامترهای فیزیکی مؤثر بودند. در سال ۲۰۰۳ پاترسون و همکارانش نرم افزار CFDSHIP-IOWA را بر پایه معادلات RANS می باشد [۲۱] و نسخه تکامل یافته تحقیقات و پژوهش های محققین قبلی نظری ویلسون، استرن و راهی (۱۹۹۸-۲۰۰۲) می باشد، ارائه دادند [۲۵]-[۲۲]. در سال ۲۰۰۵ در آمریکا آقای ویموث و همکارانش حرکات هیو و پیج شناور ویگلی در امواج را با استفاده از معادلات RANS شبیه سازی کرده که با نتایج تجربی توافق خوبی داشت [۲۶]. در سال ۲۰۰۷ آقای کاریک از همان روش یکسان جهت بررسی حرکات یک شناور آموزشی در امواج بهره برداشت [۲۷]. در سال ۲۰۱۰ آقای لارسن و همکارانش حرکات شناور کانتیبرر KCS و تانکر KVLCC2 را در شرایط امواج از رو برو با استفاده از معادلات RANS مدل سازی کرددند [۲۸]. در سال ۲۰۰۹ روش RANS جهت تحلیل حرکت رول و پارامترهای مؤثر در آن در چند شناور خاص توسط آقای سادات حسینی مورد استفاده قرار گرفت [۲۹]. در سال ۲۰۱۰ بلکناب نتایج شبیه سازی تست های حرکات هیو واداشته را با استفاده

<sup>2</sup> Water jet

<sup>۱</sup> Reynolds Averaged Navier Stokes



شکل ۲ - حرکت هیو و  $\theta$  حرکت پیچ

$$F = \rho V Z \quad (1)$$

$$M = I_{yy} \ddot{\theta} \quad (2)$$

در روابط بالا  $F$  مجموع نیروهای وارد بر شناور در راستای محور  $Z$  و  $M$  مجموع ممانهای وارد بر شناور حول محور  $y$  میباشد. باید توجه شود که معادلات ۱ و ۲ نشان دهنده رابطه خطی در نیروهای سیال وارد بر شناور نیستند. در واقع تغییرات زیاد در مساحت سطح آبخور شناورهای تندرو باعث بروز روابط غیرخطی برای نیروها و ممانها میشود. مدل سازی دینامیک شناورهای تندرو باید به گونه ای صورت گیرد که این اثرات غیرخطی بهوضوح دیده شوند. درنتیجه طرف چپ معادلات ۱ و ۲ باید به صورت توابع صریحی از متغیرهای مستقل مانند جابجایی، سرعت و شتاب شناور تندرو نوشته شوند. در این راستا معادلات کوپل هیو و پیچ برای شناورهای تندرو به صورت زیر ارائه میشوند:

$$(\rho V + A_{33}) \cdot \ddot{Z} + B_{33} \cdot \dot{Z} + C_{33} \cdot Z \quad (3)$$

$$+ A_{35} \cdot \ddot{\theta} + B_{35} \cdot \dot{\theta}$$

$$+ C_{35} \cdot \theta = X_{w3}$$

$$(I_{yy} + A_{55}) \cdot \ddot{\theta} + B_{55} \cdot \dot{\theta} + C_{55} \cdot \theta \quad (4)$$

$$+ A_{53} \cdot \ddot{Z} + B_{53} \cdot \dot{Z}$$

$$+ C_{53} \cdot Z = X_{w5}$$

در معادلات بالا  $Z$  حرکت هیو و  $\theta$  حرکت پیچ میباشند که در شکل ۲ نشان داده شده اند. تعیین ضرایب هیدرودینامیکی  $A_{ij}$  (ضریب هیدرودینامیکی جرم افزوده) و  $B_{ij}$  (ضریب هیدرودینامیکی دمپینگ) معمولاً با استفاده از مدل تست انجام میگیرد (جورنی ۱۹۹۲) و تروش (۱۹۹۲) [۱۳، ۱۵]. در این تستها شناور به انجام حرکت هیو و پیچ خالص، در سرعت ثابت و اداشه میشود، سپس نیروهای ممانها و اختلاف فاز بین حرکات و تحریر یک

به کاهش مصرف سوخت، کاهش تشعشعات و افزایش سرعت و برد میگردد.

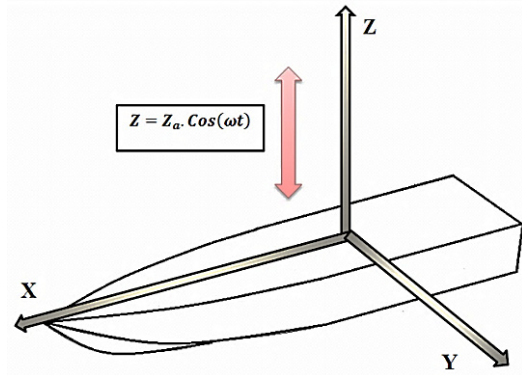
تی سای و هوآنگ نشان دادند که اینترسپتور میتواند به طور مؤثر تریم در حال حرکت و مقاومت شناورهای پروازی را کاهش دهد [۳۴]. آخرین کارهای آزمایشگاهی انجام شده در این زمینه به ترکیب و استفاده همزمان اینترسپتور و تریم تب میپردازد. در مقاله سال ۲۰۰۳ تی سای و هوآنگ نمودارهای از این مقاله بیان شده است [۳۴]. در این مقاله سعی شده زاویه ایدهآل تریم تب، طول ایدهآل اینترسپتور در استفاده همزمان مشخص شود. یکی از آخرین تحقیقات انجام شده بر روی تأثیر اینترسپتور بر روی رفتار شناورهای تندرو توسط استین در سال ۲۰۰۹ انجام شده است [۳۵]. ایده اصلی مقاله استین با توجه به تز دانشگاهی هانسویک مطرح شده است که در آن تأثیر استپ بر روی فرم بدنه شناورهای تندرو موردنرسی قرار گرفته است. بخشی از این تستها به منظور مطالعه تأثیر نصب اینترسپتور در محل استپ صورت گرفته است. او دریافت که در شرایطی نصب اینترسپتور و حذف استپ میتواند نتایج بهتری را ایجاد نماید.



شکل ۱ - اینترسپتور در پاشنه شناور

## ۲- تعریف مسئله

یک شناور تندرو را به همراه یک سیستم مختصات راست گرد مانند شکل ۲ در نظر بگیرید. حرکات هیو (جابجایی عمودی مرکز ثقل) و پیچ (چرخش حول محور  $y$ ) در این شکل نشان داده شده اند. با استفاده از قانون دوم نیوتون معادلات حرکت برای دو درجه آزادی هیو و پیچ حول مرکز ثقل به صورت زیر میباشد:



شکل ۴ - یک شناور تحت انجام حرکت هیو واداشته

معادله (۵) بیانگر حرکت هیو اجباری شناور است که دامنه‌ی حرکت هیو و فرکانس آن معلوم می‌باشد، برای بهدست آمدن ضرایب،  $Z$  را از معادله (۵) در معادلات (۶) و (۷) قرار داده و همچنین قسمت سمت راست معادلات (۶) و (۷) را بسط داده می‌شوند:

$$(M_{33} + A_{33}).Z_a \omega^2 \cos(\omega t) + B_{33} \cdot \omega \sin(\omega t) + C_{33} \cdot \cos(\omega t) = -X_{03a} \cdot \cos(\omega t) \cos(\varepsilon_{X_{03z}}) + \sin(\omega t) \sin(\varepsilon_{X_{03z}})$$
(۸)

$$(A_{53}).Z_a \omega^2 \cos(\omega t) + B_{53} \cdot \omega \sin(\omega t) + C_{53} \cdot \cos(\omega t) = -X_{05a} \cdot \cos(\omega t) \cos(\varepsilon_{X_{05z}}) + \sin(\omega t) \sin(\varepsilon_{X_{05z}})$$
(۹)

با برابر قرار دادن ضرایب  $\cos(\omega t)$  و  $\sin(\omega t)$  در طرفین دو معادله بالا ضرایب هیدرودینامیکی به صورت زیر بهدست خواهد آمد:

$$A_{33} = -\frac{X_{03a} \cdot \cos(\varepsilon_{X_{03z}})}{Z_a \cdot \omega^2} + \frac{C_{33}}{\omega^2} - M_{33}$$
(۱۰)

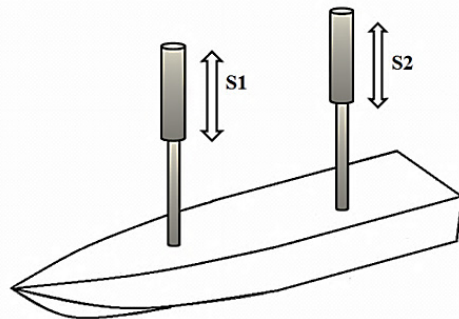
$$B_{33} = +\frac{X_{03a} \sin(\varepsilon_{X_{03z}})}{Z_a \cdot \omega}$$
(۱۱)

$$A_{53} = -\frac{X_{05a} \cdot \cos(\varepsilon_{X_{05z}})}{Z_a \cdot \omega^2} + \frac{C_{53}}{\omega^2}$$
(۱۲)

$$B_{53} = +\frac{X_{05a} \sin(\varepsilon_{X_{05z}})}{Z_a \cdot \omega}$$
(۱۳)

$$C_{33} = +2\rho g \int_0^L y_w \cdot dx_b$$
(۱۴)

اندازه‌گیری و تعیین می‌شوند و با استفاده از روابطی ضرایب بهدست می‌آیند. در تست‌های تجربی نیروها و ممان‌های وارد بر شناور بوسیله موتورهای الکتریکی یا مکانیکی تأمین می‌شوند و مدل با سرعت ثابت در آب ساکن کشیده می‌شود. شکل (۳) شکل ساده‌ای از آزمایش فوق را نشان می‌دهد. اگر میله‌های عمودی تحت حرکت قائم نوسانی هماهنگ ( $S1=S2$ ) قرار گیرند، مدل تحت حرکت هیو اجباری نوسان خواهد کرد و بهمین ترتیب برای انجام حرکت پیچ اجباری دو میله تحت حرکت قائم نوسانی در جهت مخالف یکدیگر قرار می‌گیرند.



شکل ۳ - شناور تندر و در حال انجام حرکات پیچ و هیو واداشته هارمونیک

در ادامه به نحوه تعیین ضرایب هیدرودینامیکی  $A_{ij}$  و  $B_{ij}$  با استفاده از انجام حرکات هیو و پیچ واداشته پرداخته می‌شود.

## ۱-۲ حرکت هیو واداشته هارمونیک

زمانی که شناور تحت حرکت هیو واداشته هارمونیک قرار می‌گیرد، معادلات حرکت به صورت زیر نوشته می‌شوند:

$$Z = Z_a \cdot \cos(\omega t) \quad (۱۵)$$

$$(M_{33} + A_{33}) \ddot{Z} + B_{33} \dot{Z} + C_{33} Z = X_{03a} \cdot \cos(\omega t) + \varepsilon_{X_{03z}} \quad (۶)$$

$$A_{53} \ddot{Z} + B_{53} \dot{Z} + C_{53} Z = X_{05a} \cdot \cos(\omega t) + \varepsilon_{X_{05z}} \quad (۷)$$

شکل (۴) یک شناور را تحت انجام حرکت هیو واداشته نشان می‌دهد.  $Z_a$  دامنه‌ی حرکت و  $\omega$  فرکانس آن است.

$$C_{55} = +2\rho g \int_0^L y_w \cdot x_b \cdot x_b \cdot dx_b \quad (23)$$

$$C_{35} = -2\rho g \int_0^L y_w \cdot x_b \cdot dx_b \quad (24)$$

تعیین ضرایب هیدرودینامیکی به تعیین دامنه نیرو و ممان هارمونیک وارد بر شناور و همچنین اختلاف فاز این نیرو و ممان هارمونیک با حرکت هارمونیک شناور وابسته خواهد بود. آقای تروش (۱۹۹۲) و همچنین جورنی (۱۹۹۲) جهت تعیین نیروها و ممان های وارد بر شناور و نیز اختلاف فاز آنها با حرکات واداشته هارمونیک از تست مدل شناور و بهره گیری از امکانات آزمایشگاهی استفاده کردند. به طور مثال آقای تروش از یک صفحه مجهز به مکانیزم حرکات عمودی<sup>۳</sup> که در سال ۱۹۸۹ در دانشگاه می شیگان نصب و کالیبره شد و نیز مجهز به حسگرهای جداگانه جهت ثبت نیرو، ممان و حرکات هارمونیک بوده است، برای انجام این تستها استفاده کرد. استفاده از تست مدل جهت انجام حرکات هیو و پیج واداشته هارمونیک برای تعیین ضرایب هیدرودینامیکی، بسیار هزینه برخواهد بود. علاوه بر هزینه های ساخت مدل و تأمین امکانات اولیه آزمایشگاه، این تستها نیازمند مکانیزم دقیق و پیچیده جهت انجام حرکات هیو و پیج واداشته و کشیدن همزمان مدل در سرعت موردنظر و نیز حسگرهای دقیق برای ثبت حرکات و نیروها و ممان های وارد بر شناور در طی این حرکات می باشد. از سوی دیگر ساخت مدل موردنظر و کالیبره کردن مکانیزم های موردنیاز در این تستها بحث زمان بر بودن این تستها را نیز به میان می آورد؛ بنابراین به نظر می رسد استخراج این ضرایب به روش عددی و ایجاد آزمایشگاه مجازی می تواند در شناخت هیدرودینامیک شناور تندر و مفید باشد. در این آزمایشگاه مجازی می توان حرکات هیو و پیج واداشته را بر شناور اعمال کرد و با دقیقیت بسیار خوب به ثبت نیروها و ممان های وارد بر شناور و اختلاف فاز آنها با حرکات هارمونیک و درنتیجه تعیین ضرایب هیدرودینامیکی پرداخت. در این روش معادلات RANS به همراه معادلات پیوستگی حل می شوند. در ادامه ابتدا به اعتبار سنجی و بررسی دقیق روش عددی با مدل سازی شناور ارائه شده توسط آقای تروش (۱۹۹۲) پرداخته می شود، پس از اعتبار سنجی روش عددی

$$C_{53} = -2\rho g \int_0^L y_w \cdot x_b \cdot dx_b \quad (15)$$

## ۲-۲-حرکت پیج واداشته هارمونیک

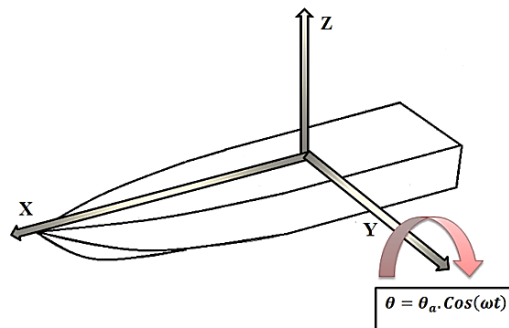
زمانی که شناور تحت حرکت پیج واداشته هارمونیک قرار می گیرد، معادلات حرکت به صورت زیر نوشته می شوند:

$$\theta = \theta_a \cdot \cos(\omega t) \quad (16)$$

$$(M_{55} + A_{55}) \cdot \ddot{\theta} + B_{55} \cdot \dot{\theta} + C_{55} \cdot \theta = X_{05a} \cdot \cos(\omega t) + \varepsilon_{X_{05\theta}} \quad (17)$$

$$A_{53} \cdot \ddot{\theta} + B_{53} \cdot \dot{\theta} + C_{53} \cdot \theta = X_{03a} \cdot \cos(\omega t) + \varepsilon_{X_{03\theta}} \quad (18)$$

شکل (۵) یک شناور را تحت انجام حرکت پیج واداشته نشان می دهد.  $\theta_a$  دامنه حرکت و  $\omega$  فرکانس آن است.



شکل ۵ - یک شناور تحت انجام حرکت پیج واداشته

مانند حرکت هیو هارمونیک با قرار دادن  $\theta$  از معادله اول در معادلات بعدی و سپس برابر قرار دادن ضرایب  $\sin(\omega t)$  و  $\cos(\omega t)$  از تست حرکت پیج واداشته به صورت زیر به دست خواهد آمد:

$$A_{55} = -\frac{X_{05a} \cdot \cos(\varepsilon_{X_{05z}})}{\theta_a \cdot \omega^2} + \frac{C_{55}}{\omega^2} - M_{55} \quad (19)$$

$$B_{55} = +\frac{X_{05a} \sin(\varepsilon_{X_{05z}})}{\theta_a \cdot \omega} \quad (20)$$

$$A_{35} = -\frac{X_{03a} \cdot \cos(\varepsilon_{X_{03z}})}{\theta_a \cdot \omega^2} + \frac{C_{35}}{\omega^2} \quad (21)$$

$$B_{35} = +\frac{X_{03a} \sin(\varepsilon_{X_{03z}})}{\theta_a \cdot \omega} \quad (22)$$

<sup>3</sup>Planar Vertical Motion Mechanism (VMM)

$$\begin{aligned} \frac{\partial}{\partial t}(\rho u_i) + \frac{\partial}{\partial x_j}(\rho u_i u_j) \\ = - \frac{\partial P}{\partial x_i} \\ + \frac{\partial}{\partial x_j} \left[ \mu \left( \frac{\partial u_i}{\partial x_j} \right. \right. \\ \left. \left. + \frac{\partial u_j}{\partial x_i} \right) - \frac{2}{3} \mu \frac{\partial u_i}{\partial x_i} \right] \\ + \frac{\partial (u'_i u'_j)}{\partial x_j} + \rho g_i \end{aligned} \quad (28)$$

همچنین در کد تجاری مورداستفاده از روش VOF<sup>۵</sup> برای مدل سطح آزاد استاندارد<sup>۶</sup> استفاده می شود. معادله حاکم بر انتقال نسبت حجمی به صورت زیر تعریف می شود:

$$\frac{\partial c}{\partial t} + \frac{\partial}{\partial x_j}(\rho u_j) = 0 \quad (29)$$

$$c = \frac{V_{air}}{V_{total}} \quad (30)$$

نسبت حجمی  $c$  به صورت کسر حجمی هوا در هر سلول تعیین می شود و چگالی و ویسکوزیته سیال به صورت زیر محاسبه می شوند:

$$\rho = \rho_{air}c + \rho_{water}(1 - c) \quad (31)$$

$$\mu = \mu_{air}c + \mu_{water}(1 - c) \quad (32)$$

روش VOF برای تمامی فازهای موجود در یک حجم، کنترل فشار و سرعت یکسانی را در نظر می گیرد و نسبت فازها را کنترل می کند؛ بنابراین معادلات حاکم، در یک سیال تک فاز برای یک سیال معادل حل می شوند که ویژگی های فیزیکی این سیال تابعی از ویژگی های سیال انتخاب شده و نسبت حجمی در هر حجم کنترل است.

در معادله (۲۸) جمله  $\frac{\partial(u'_i u'_j)}{\partial x_j}$  مربوط به آشفتگی می باشد که برای مدل سازی آن نیاز به استفاده از یک مدل آشفتگی است. برای این امر از مدل ترکیبی دو معادله ای انتقال تنش برشی رینولدز<sup>۷</sup> (SST) که بر پایه مدل  $k - \omega$  بنا نهاده شده، استفاده شده است. این مدل از رفتار تابع دیواره اتوماتیک<sup>۸</sup> بهره می گیرد. مدل SST ترکیبی از مدل های  $\epsilon - k$  و  $\omega - k$  است، بنابراین از مزایای هر دو مدل یعنی قدرت بالای همگرایی مدل رینولدز بالای  $\epsilon - k$  و رفتار اتوماتیک دیوار مدل رینولدز پایین  $\omega - k$

موردنظر به بررسی تأثیر اینترسپتور بر ضرایب هیدرودینامیکی یک شناور کاتamaran انجام خواهد شد [۱۳].

### ۳- روش حل مسئله

#### ۱-۱-۳- معادلات حاکم

در این تحقیق از نرم افزار تجاری ANSYS CFX 14.0 برای مدل سازی حرکات به روش دینامیک سیالات محاسباتی استفاده شده است. در این نرم افزار از روش حجم محدود برای گسته سازی میدان حل استفاده می شود. معادله بقای جرم برای سیال غیرقابل تراکم در هر سه جهت اصلی می تواند به صورت زیر نوشته شود:

$$\frac{\partial}{\partial x_i}(\rho u_i) = 0 \quad (25)$$

در رابطه (۲۵)،  $\rho$  چگالی سیال و  $u_i$  مؤلفه سرعت هر یک از سه جهت اصلی  $x$  و  $y$  و  $z$  است. در این مسئله به دلیل وجود سطح آزاد، اثرات بیوانسی و نیروی گرانش مطرح است. معادله دیگر، معادله بقای مومنتوم است که در هر یک از سه جهت اصلی می تواند به صورت زیر نوشته شود:

$$\begin{aligned} \frac{\partial}{\partial t}(\rho u_i) + \frac{\partial}{\partial x_j}(\rho u_i u_j) \\ = - \frac{\partial P}{\partial x_i} + \frac{\partial \tau_{ij}}{\partial x_j} \\ + \rho g_i + F_i \end{aligned} \quad (26)$$

در رابطه (۲۶)،  $F_i$  نیروی حجمی،  $g_i$  شتاب گرانش و  $\tau_{ij}$  تاسوسور تنش های رینولدز است که به صورت زیر تعریف می شود:

$$\tau_{ij} = \mu \left( \frac{\partial u_i}{\partial x_j} + \frac{\partial u_j}{\partial x_i} \right) - \frac{2}{3} \mu \frac{\partial u_i}{\partial x_i} \delta_{ij} \quad (27)$$

در رابطه (۲۷)،  $\delta_{ij}$  تابع دلتای کرونکر<sup>۹</sup> است که برای  $i = j$  برابر با یک و در غیر این صورت صفر است. با توجه به معادلات (۲۶) و (۲۷)، معادله (۲۸) به صورت زیر حاصل می شود که شامل جملات تنش های رینولدز است.

<sup>7</sup> Shear Stress Transport

<sup>8</sup> Automatic wall function

<sup>4</sup> Kronecker delta

<sup>5</sup> Volume of Fluid

<sup>6</sup> Standard free-surface model

معمولًا فشار جریان خروجی را تعیین می‌کند. سرعت در این مرز با استفاده از برونویابی از سلول‌های داخلی تعیین می‌شود. شرایط مرزی سیمتری<sup>۱۵</sup> نیز برای کاهش تعداد سلول‌های مورداً استفاده در مدل سازی استفاده می‌شود. تمامی گرادیان‌ها در محل شرط مرزی سیمتری برابر با صفر می‌باشند. فشار و سرعت بر این مرز نیز با استفاده از برونویابی تعیین می‌شوند. بر دیواره بدنه موردنظر سیمتری نیز شرط مرزی دیواره که شامل دو شرط نفوذناپذیری و عدم لغزش می‌باشد، اعمال می‌شود. درنتیجه سرعت روی سلول‌های متصل به بدن، برابر با سرعت حرکت بدن خواهد بود. فشار در این سلول‌ها نیز با استفاده از برونویابی تعیین می‌شود. برای شرط مرزی اطراف دامنه محاسباتی نیز دیواره با شرط قابل لغزش انتخاب شده‌است. برای مرزهای جانی، مرز کف و مرز بالا، شرایط مرزی دیوار بدون لغزش انتخاب شده‌است. طبیعی است محل این مرزها باید به قدر کافی از خود جسم دور انتخاب شود تا انتخاب شرط مرزی دیواره برای آن‌ها، جواب‌های مسئله را از واقعیت فیزیکی دور نکند.

در مسائل CFD، اگر حل گذرا<sup>۱۶</sup> باشد (و نه پایدار<sup>۱۷</sup>)، نیاز به مشخص نمودن شرایط اولیه برای دامنه محاسباتی است. در حالت حل پایدار، فقط یک حدس اولیه نیاز است و این حدس اولیه در همگرایی کیفیت و سرعت همگرایی تأثیر دارد؛ اما برای مسائل گذرا شرایط اولیه حتی باید از لحاظ فیزیکی هم با واقعیت مسئله کاملاً مطابق باشد؛ چرا که حکم شرایط اولیه مسئله واقعی را دارد. در این تحقیق برای هر دوی شناور تندر و کاتاماران مدل شده، ابتدا مسئله به صورت پایدار و مستقل از زمان شبیه‌سازی شده و پس از همگرایی شرایط اولیه تعیین شده و حل مسئله به صورت حالت گذرا (تابع زمان) ادامه پیدا کرده است.

#### ۴- مدل‌سازی حرکت شناور تک‌بدنه در آب آرام

در این بخش مدل‌سازی حرکات هارمونیک یک شناور تک‌بدنه در آب آرام به کمک روش عددی بر پایه معادلات RANS موردنرسی قرار می‌گیرد. در نهایت پس از اتمام و استخراج ضرایب هیدرودینامیکی به اعتبارسنجی نتایج این

را توانماً برخوردار است. تغییر تدریجی از مدل  $\omega - k$  به مدل  $\epsilon - k$  به ترتیب از نواحی نزدیک به دیواره تا نواحی دور از دیواره توسط یکتابع ترکیب<sup>۹</sup> انجام می‌شود. این مدل دو معادله‌ای، مناسب‌ترین مدل برای تخمین شروع و میزان جدایی جریان سیال است (منتر ۲۰۰۳) [۳۶]. در کد تجاری ANSYS CFX، معادلات به‌وسیله حل‌گر کوپل<sup>۱۰</sup> حل می‌شوند. در حل‌گر کوپل برخلاف حل‌گرهای تفکیکی<sup>۱۱</sup> هر سه معادله مومنتوم، یک معادله پیوستگی برای چهار مجھول ( $P, w, v, u$ ) در یک ماتریس با هم حل می‌شوند. حل‌گر کوپل برای هر تکرار<sup>۱۲</sup> زمان و حجم حافظه بیشتری نسبت به حل‌گر تفکیکی نیاز دارد اما به نسبت حل‌گر تفکیکی از همگرایی سریع‌تری برخوردار است. مسئله مهم دیگر این است که عملکرد الگوریتم و صحت جواب‌ها بهشت به گام زمانی وابسته است (فرزیگر (۱۹۹۹)) [۳۷]. برای تعیین گام زمانی از عدد CFL که به صورت زیر تعریف می‌شود، استفاده شده است.

$$CFL = \frac{U \Delta t}{\Delta} \quad (33)$$

در این رابطه  $\Delta$  اندازه مش می‌باشد. به‌منظور پایداری حل عددی، عدد CFL باید در کل کمتر از یک باشد. همچنین انتخاب مقدار مناسب برای گام زمانی برای رسیدن به جواب‌های درست بسیار حائز اهمیت می‌باشد. درنتیجه و با ارزیابی فیزیکی مسئله و با توجه به رابطه (۳۳) و با انجام محاسبات، گام زمانی در تمام تحلیل‌های پیش رو ۰/۰ ثانیه قرار داده می‌شود.

#### ۲-۳- شرایط مرزی و شرایط اولیه

شرایط مرزی یک ناحیه حل، میزان ورود و خروج جریان به ناحیه را کنترل می‌کند. درواقع در یک کد CFD، این شرایط مرزی است که جواب را به دامنه محاسباتی القاء می‌کند. در این قسمت شرایط مرزی استفاده شده در این تحقیق ارائه شده‌است.

شرایط مرزی ورودی<sup>۱۳</sup> سرعت ورود جریان به ناحیه حل را مشخص می‌کند. فشار در مرز ورودی با برونویابی از سلول‌های همسایه به دست می‌آید. شرایط مرزی خروجی<sup>۱۴</sup>

<sup>14</sup> Outlet B. C.

<sup>15</sup> Symmetry B. C.

<sup>16</sup> Transient

<sup>17</sup> Steady

<sup>9</sup> Blending function

<sup>10</sup> Coupled solver

<sup>11</sup> Segregated solver

<sup>12</sup> Iteration

<sup>13</sup> Inlet B. C.

حجم محاسباتی می‌گردد. میدان سیال دارای مشی است که قابلیت تغییر شکل داشته و با جابجایی جسم صلب شکل و حجم سلول‌ها تغییر می‌کند، در این مدل سازی از ۵۰۰،۰۰۰ سلول استفاده شده است. فاصله اولین گره از بدنه شناور بر اساس  $y^+$  موردنظر تعیین می‌شود. در تحقیق حاضر مقدار میانگین  $y^+$  حدود ۳۰۰ با وجود حداقل ۱۰ گره درون لایه مرزی آشفته بوده است. برای تخمین پروفیل سرعت در نزدیکی دیواره ازتابع دیواره اتوماتیک مدل آشفتگی انتقال تنفس بر شی استفاده می‌شود. رابطه فاصله بی‌بعد  $y^+$  بر اساس اولین گره مجاور دیواره به صورت زیر تعریف می‌شود:

$$y^+ = \frac{u_\tau \mu}{\rho} \Delta y \quad (34)$$

در رابطه (۳۴)  $\mu$  ویسکوزیته دینامیکی،  $\rho$  چگالی سیال،  $u_\tau$  سرعت اصطکاکی و  $\Delta y$  فاصله اولین گره مجاور دیواره از دیواره است. سرعت اصطکاکی  $u_\tau$  به صورت زیر تعریف می‌شود:

$$u_\tau = \left( \frac{\tau_w}{\rho} \right)^{\frac{1}{2}} \quad (35)$$

که  $\tau_w$  تنفس بر شی دیوار است. همچنین رابطه زیر که بر اساس جریان روی صفحه تخت به دست آمده است برای محاسبه فاصله اولین گره از دیواره بر اساس  $y^+$  پیشنهاد می‌شود (ANSYS 2005)

$$\Delta y = L \cdot y^+ \cdot \sqrt{74} \cdot (Re)^{-\frac{13}{14}} \quad (36)$$

در رابطه فوق  $L$  طول مشخصه جسم و  $Re$  رینولدز جریان می‌باشد.

#### ۲-۴-نتایج مدل‌سازی

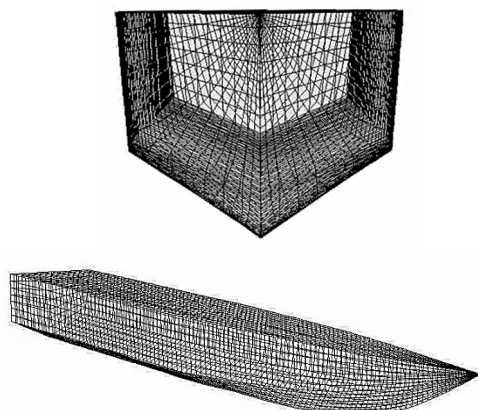
همان‌طور که پیش‌تر اشاره شد، هدف استفاده از روش عددی تعیین دامنه نیرو و ممان وارد بر شناور و نیز تعیین اختلاف فاز آن‌ها با حرکت هارمونیک شناور جهت تعیین ضرایب هیدرودینامیکی می‌باشد. برای این منظور شناور تندره را باید تحت اثر حرکت هارمونیک هیو و پیچ قرار داد. دقت شود که فرکانس و دامنه حرکات از تروش (۱۹۹۲) استخراج شده‌اند. این حرکت به مرکز ثقل شناور وارد خواهد شد. نتایج حرکات هیو و پیچ و اداشته شناور در شکل ۷ خلاصه شده‌اند. نتایج شامل نیروی هارمونیک و ممان وارد بر شناور بر اثر انجام حرکت هیو هارمونیک و اداشته با دامنه‌ی ۲ سانتی‌متر و فرکانس  $4/72$ ، نیروی هارمونیک و ممان وارد بر شناور بر اثر انجام حرکت پیچ

شبیه‌سازی به کمک نتایج آزمایش‌های تروش (۱۹۹۲) پرداخته خواهد شد.

**۴-۱-مشخصات هندسی و شبکه‌بندی میدان حل**  
 شرایط مرزی حل عبارتند از: فشار نسبی که در خروجی فشار استاتیکی و در نواحی دور صفر در نظر گرفته شد. سرعت هوا و آب در ورودی  $2/56$  متر بر ثانیه معادل با عدد فرود عرضی  $1/5$  می‌باشد و شناور دارای تریم اولیه ۴ درجه است (تروش ۱۹۹۲). در بالای مدل نیز شرایط ورود و خروج هوا در نظر گرفته شده‌است. کف دامنه شرط عدم لغزش و در مرز موجود در انتهای محور  $Y$  دیواری قرار دارد که سیال می‌تواند بر روی آن حرکت کند. شکل ۶ نیز توزیع شبکه اطراف شناور تندره را نشان می‌دهد.

جدول ۱ - مشخصات هندسی شناور واقعی جهت مدل‌سازی

مشخصات شناور تندره	عددی
مقدار واحد	
طول	۲۰۹۶ متر
عرض	۰/۳۱۸ متر
مرکز ثقل عمودی	۰/۱۹۵ متر
مرکز ثقل	۰/۴۷۰ متر
نسبت طول خیس شده به عرض	۳/۰ [-]



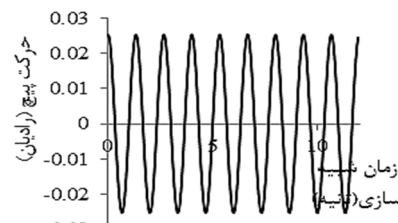
شکل ۶ - فرم بدنه و مش سطح شناور تندره

برای شبکه‌بندی مدل‌سازی از یک مش با سازمان برای دامنه حل با ابعاد  $13 \times 3 \times 6/3$  متر برای شناوری که مشخصات هندسی آن در جدول ۱ بیان شده، استفاده شده است. هندسه این شناور نیز در شکل ۶ نشان داده شده است. هندسه این شناور نیز در شکل ۶ نشان داده شده است (تروش ۱۹۹۲). این ابعاد دامنه نسبت به طول شناور انتخاب شده‌اند؛ به‌گونه‌ای که جریان در پشت و کنار شناور زمان کافی برای نشان دادن خود داشته باشد. با استفاده از تقارن شناور نسبت به محور طولی از نصف دامنه سیالاتی برای حل مسئله استفاده شده که منجر به کاهش

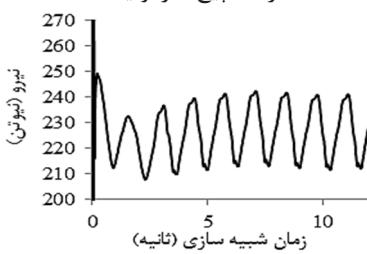
هارمونیک و داشته با دامنه‌ی  $0.026$  رادیان و فرکانس  $4/72$  را نشان می‌دهد.

حرکت پیچ و داشته هارمونیک:

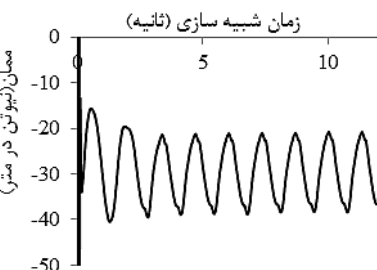
$$\theta = 0.026 \cdot \cos(4.72t)$$



حرکت پیچ هارمونیک



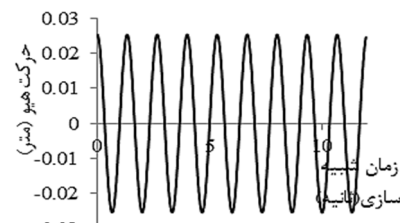
تغییرات نیروی هارمونیک وارد بر شناور در حرکت پیچ هارمونیک



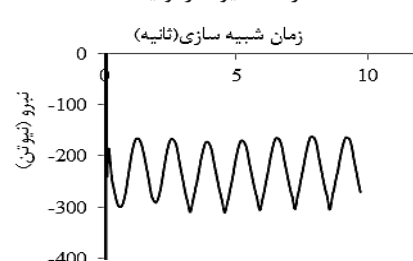
تغییرات ممان هارمونیک وارد بر شناور در حرکت پیچ هارمونیک

حرکت هیو و داشته هارمونیک:

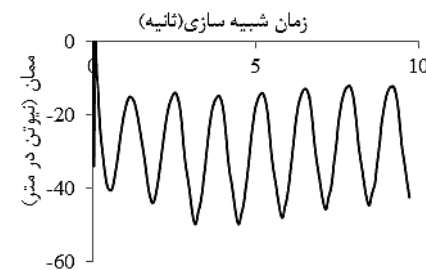
$$Z = 0.02544 \cdot \cos(4.72t)$$



حرکت هیو هارمونیک



تغییرات نیروی هارمونیک وارد بر شناور در حرکت هیو هارمونیک



تغییرات ممان هارمونیک وارد بر شناور در حرکت هیو هارمونیک

شکل ۷ - نتایج عددی حرکات هیو و پیچ و داشته شناور تک بدنه

### ۴-۳- محاسبه ضرایب هیدرودینامیکی و

#### اعتبارسنجی نتایج

به هندسه بدنه وابسته می‌باشند که برای شناور تندر و انتخاب شده این ضرایب در جدول ۲ ارائه شده‌است. این ضرایب با استفاده از روش سیمsson تعیین شده‌اند.

جدول ۲ - ضرایب استاتیکی C برای شناور تندر

ضریب هیدرودینامیکی	مقدار
C <sub>33</sub> (Nm)	2975
C <sub>53</sub> (N)	353
C <sub>35</sub> (N)	353
C <sub>55</sub> (Nm)	42

جهت محاسبه ضرایب هیدرودینامیکی شناور از معادلات استخراج شده توسط جورنی استفاده می‌شود. همان‌طور که پیش‌تر بیان شد، برای صحت‌سنجی نتایج از نتایج تست تروش (۱۹۹۲) استفاده می‌شود. تروش از مدل آزمایشگاهی برای محاسبه ضرایب هیدرودینامیکی استفاده کرد. در این آزمایش‌ها ضرایب موردنیاز تحت نوسانات اجباری اندازه‌گیری می‌شوند. مدل‌سازی طبق تروش در عدد فرود عرضی ۱/۵ انجام شد. دقت شود که ضرایب C

## ۵-مشخصات هندسی کاتاماران و شبکه‌بندی میدان حل

برای شبکه‌بندی مدل سازی نیز از یک مش بی‌سازمان برای دامنه حل با ابعاد  $20 \times 60 \times 25$  متر برای کاتامارانی که مشخصات هندسی آن در جدول ۴ بیان شده، استفاده شده است. هندسه این کاتاماران نیز در شکل ۹ به نمایش گذاشته شده است. این ابعاد دامنه نسبت به طول شناور انتخاب شده‌اند؛ به‌گونه‌ای که جریان در پشت و کنار شناور زمان کافی برای نشان دادن خود داشته باشدند.

جدول ۴ - مشخصات هندسی کاتاماران جهت مدل‌سازی

مشخصات		عددی
واحد	مقدار	کاتاماران
متر	۱۲	طول
متر	۴/۶	عرض
متر	۰/۹۵	آبخور
کیلوگرم	۱۷۸۵۰	جرم

با استفاده از تقارن شناور نسبت به محور طولی از نصف دامنه سیالاتی برای حل مسئله استفاده شده که منجر به کاهش حجم محاسباتی می‌گردد. در این مدل‌سازی از ۷۰۰،۰۰۰ سلول استفاده شده است.

شرایط مرزی حل مسئله عبارت است از: سرعت هوا و آب در ورودی  $8/15$  متر بر ثانیه معادل با عدد فرود عرضی  $1/2$  می‌باشد. در بالای مدل نیز شرایط ورود و خروج هوا در نظر گرفته شده است. شرایط اولیه کاتاماران برای انجام شبیه‌سازی، پس از قرار دادن کاتاماران در شرایط هیدرولاستاتیکی به دست آمد. آبخور کاتاماران حدود  $0/6$  متر و تریم آن نیز حدود ۱ درجه به دست آمد. توزیع شبکه اطراف کاتاماران در شکل ۹ نشان داده شده است.

مکان اولین مش بر روی کاتاماران بر اساس  $y^+$  تعیین می‌شود. با ثابت نگاهداشتن مقدار  $y^+$  در  $300$ ،  $mm$  اول  $1mm$  به دست می‌آید. مش شامل حدود  $700,000$  المان با  $10$  لایه باریک اطراف کاتاماران برای دیده شدن اثرات لایه مرزی است.

در نهایت ضرایب هیدرودینامیکی به دست آمده از این تحقیق و آزمایش‌های تروش برای شناور تندرو در شکل ۸ مقایسه شده است. با توجه به شکل ۸ مشاهده می‌شود که توافق خوبی بین نتایج تحقیق حاضر با نتایج آزمایش‌ها آقای تروش وجود دارد.

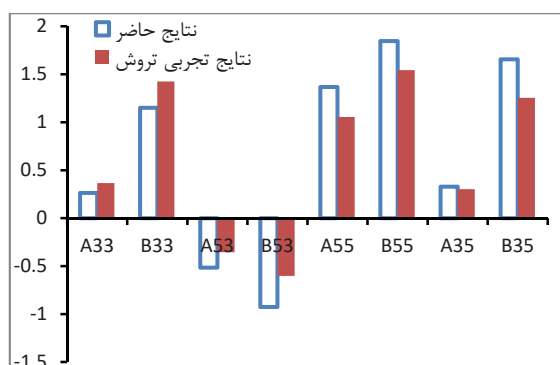
اختلافی که وجود دارد، می‌تواند ناشی از اختلافی باشد که بین شناور تحقیق حاضر با شناور تروش وجود دارد. هرچند سعی شده است که هندسه شناور تحقیق حاضر به شناور آقای تروش نزدیک شود، ولی باز هم اختلافاتی بین این دو وجود خواهد داشت.

لازم به ذکر است که ضرایب هیدرودینامیکی بی‌بعد در

جدول ۳ - نمایش داده شده‌اند:

جدول ۳ - ضرایب هیدرودینامیکی بی‌بعد

$B_{53}'' = \frac{B_{53}}{\rho B^4 \sqrt{\frac{g}{B}}}$	$A_{55}'' = \frac{A_{55}}{\rho B^5}$
$A_{33}''' = \frac{A_{33}}{\rho B^3}$	$B_{55}'' = \frac{B_{55}}{\rho B^5 \sqrt{\frac{g}{B}}}$
$B_{33}'' = \frac{B_{33}}{\rho B^3 \sqrt{\frac{g}{B}}}$	$A_{35}'' = \frac{A_{35}}{\rho B^4}$
$A_{53}''' = \frac{A_{53}}{\rho B^4}$	$B_{35}'' = \frac{B_{35}}{\rho B^4 \sqrt{\frac{g}{B}}}$

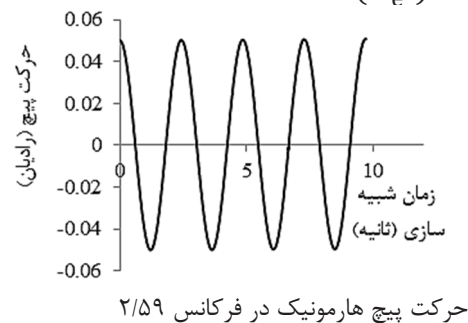


شکل ۸ - مقایسه نتایج تجربی تروش و نتایج عددی به دست آمده

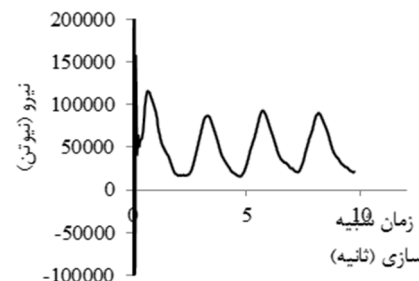
در ادامه با توجه به تطابق خوب بین نتایج شبیه‌سازی عددی شناور تکبدنه با نتایج تجربی آقای تروش از همین روش یکسان به بررسی ضرایب هیدرودینامیکی شناور کاتاماران جهت پاسخ به سؤال تغییرات ضرایب نسبت به فرکанс حرکات شناور پرداخته شده است.

شکل ۱۰ نشان داده شده است. دقت شود که فرکانس و دامنه حرکات با توجه به شرایط موجود در خلیج فارس تعیین شده اند. در این مورد  $\omega_e$  از  $۳۹/۲۷$  تا  $۲/۵۹$  تغییر داده می شود و در هر  $\omega_e$  نیرو و ممان وارد بر کاتاماران به همراه اختلاف فاز آنها با حرکت هارمونیک ثبت می شوند؛ همچنین دامنه حرکت هیو اجباری  $۱۶$  سانتی متر و دامنه حرکت پیچ  $۰/۰۵۲$  رادیان در نظر گرفته شده است. نتایج در فرکانس  $۲/۵۹$  رادیان بر ثانیه برای حرکات هیو و پیچ اجباری در شکل نشان داده شده است.

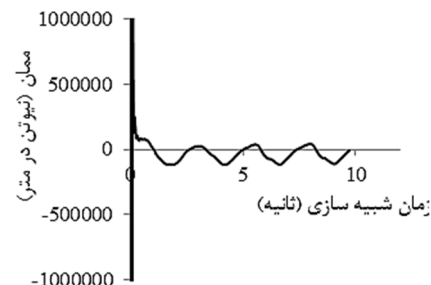
$$\text{حرکت پیچ واداشته هارمونیک:} \\ \theta = 0.052 \cdot \cos(\omega_e t)$$



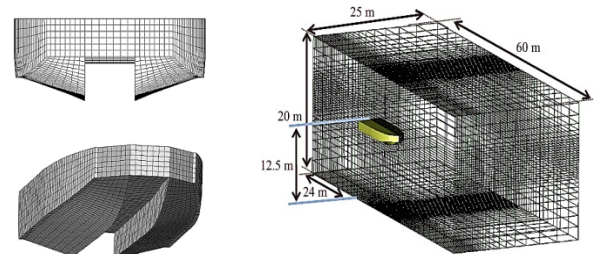
حرکت پیچ هارمونیک در فرکانس  $۲/۵۹$



تغییرات نیروی هارمونیک وارد بر کاتاماران در فرکانس  $۲/۵۹$



تغییرات ممان هارمونیک وارد بر کاتاماران در فرکانس  $۲/۵۹$



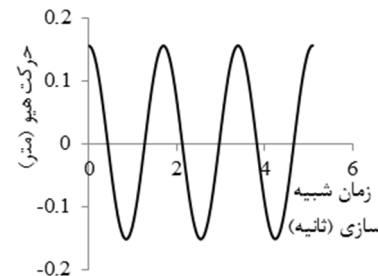
شکل ۹ - راست (دامنه محاسباتی و ابعاد آن برای شناور کاتاماران) چپ (فرم بدنه و مش سطح)

#### ۱-۵-نتایج مدل سازی

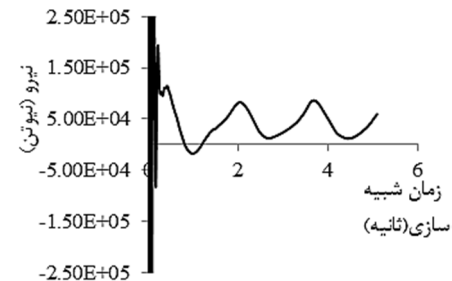
نتایج مربوط به حرکت هارمونیک واداشته هیو در فرکانس  $۳/۷$  و واداشته پیچ در فرکانس  $۲/۵۹$  کاتاماران در

حرکت هیو واداشته هارمونیک:

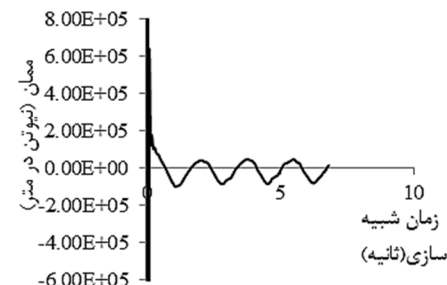
$$Z = 0.16 \cdot \cos(\omega_e t)$$



حرکت هیو هارمونیک در فرکانس  $۳/۷$



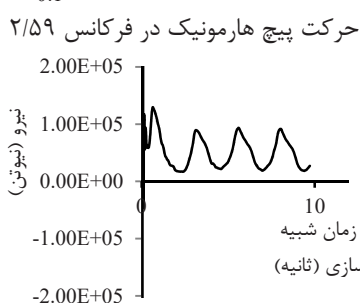
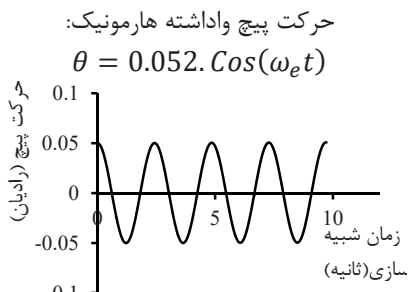
تغییرات نیروی هارمونیک وارد بر کاتاماران در فرکانس  $۳/۷$



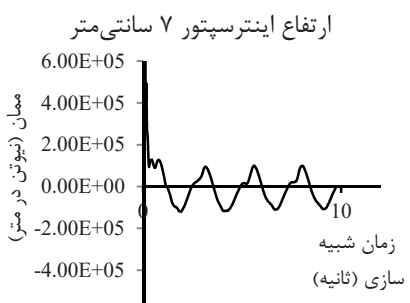
تغییرات ممان هارمونیک وارد بر کاتاماران در فرکانس  $۳/۷$

شکل ۱۰ - نیروها و ممانها در حرکات هیو در فرکانس  $۳/۷$  و پیچ در فرکانس  $۲/۵۹$  واداشته کاتاماران

ارتفاع اینترسپتور ۷ سانتی متر در نظر گرفته می شود. نتایج مربوط به حرکت هارمونیک و اداشه هیو در فرکانس  $\frac{3}{7}$  و اداشه پیچ در فرکانس  $\frac{2}{59}$  کاتاماران در شکل ۱۲ نشان داده شده است. دقت شود که فرکانس و دامنه حرکات با توجه به شرایط موجود در خلیج فارس تعیین شده اند. در این مورد  $\omega_e$  از  $\frac{39}{27}$  تا  $\frac{2}{59}$  تغییر داده می شود و در هر  $\omega_e$  نیرو و ممان وارد بر کاتاماران به همراه اختلاف فاز آنها با حرکت هارمونیک ثبت می شوند همچنین دامنه حرکت هیو اجباری ۱۶ سانتی متر و دامنه حرکت پیچ  $0.052 \cdot \cos(\omega_e t)$  رادیان در نظر گرفته شده است. نتایج در فرکانس  $\frac{2}{59}$  رادیان بر ثانیه برای حرکات هیو و پیچ اجباری در شکل نشان داده شده است.



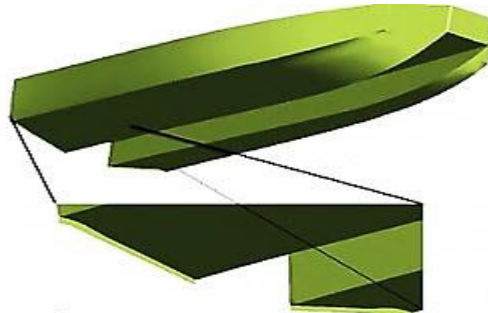
تغییرات نیروی هارمونیک وارد بر کاتاماران در فرکانس  $\frac{2}{59}$  با



تغییرات ممان هارمونیک وارد بر کاتاماران در فرکانس  $\frac{2}{59}$  با

ارتفاع اینترسپتور ۷ سانتی متر

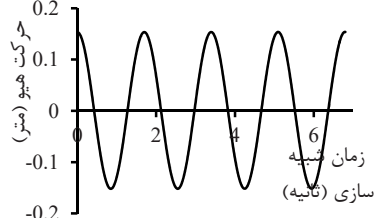
۶- اضافه کردن اینترسپتور به کاتاماران  
برای دیده شدن تأثیر اینترسپتور، کاتاماران بخش قبل به اینترسپتوری با ارتفاع  $\frac{3}{7}$  و ۵ و ۷ سانتی متر مجهز می شود. در ادامه به ارائه نتایج مدل سازی کاتاماران با اینترسپتور پرداخته می شود. نمایش اینترسپتور با ارتفاع ۷ سانتی متر در شکل ۱۱ مشاهده می شود.



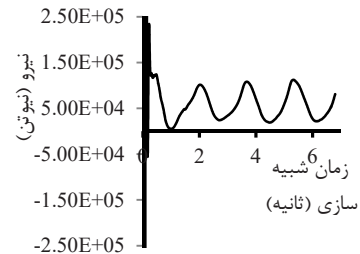
شکل ۱۱ - نمایش اینترسپتور

حرکت هیو و اداشه هارمونیک:

$$Z = 0.16 \cdot \cos(\omega_e t)$$

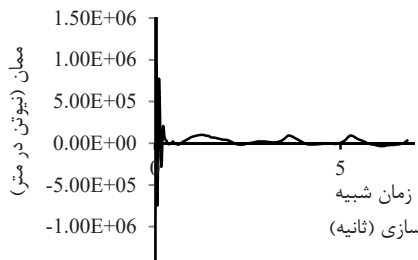


حرکت هیو هارمونیک در فرکانس  $\frac{3}{7}$



تغییرات نیروی هارمونیک وارد بر کاتاماران در فرکانس  $\frac{3}{7}$  با

ارتفاع اینترسپتور ۷ سانتی متر



تغییرات ممان هارمونیک وارد بر کاتاماران در فرکانس  $\frac{3}{7}$  با

ارتفاع اینترسپتور ۷ سانتی متر

شکل ۱۱ - نیروها و ممانها در حرکات هیو در فرکانس  $\frac{3}{7}$  و پیچ در فرکانس  $\frac{2}{59}$  و اداشه کاتاماران مجهز به اینترسپتور

محاسبه شده‌اند. ضرایب استاتیکی C با فرض دامنه کوچک می‌توانند ثابت فرض شوند.

ضرایب جرم افزوده و میرایی به علت حرکات هیو و پیچ در شکل ۱۳ و ۱۴ بر حسب فرکانس رسم شده‌اند.

جدول ۵ ضرایب استاتیکی C برای کاتاماران

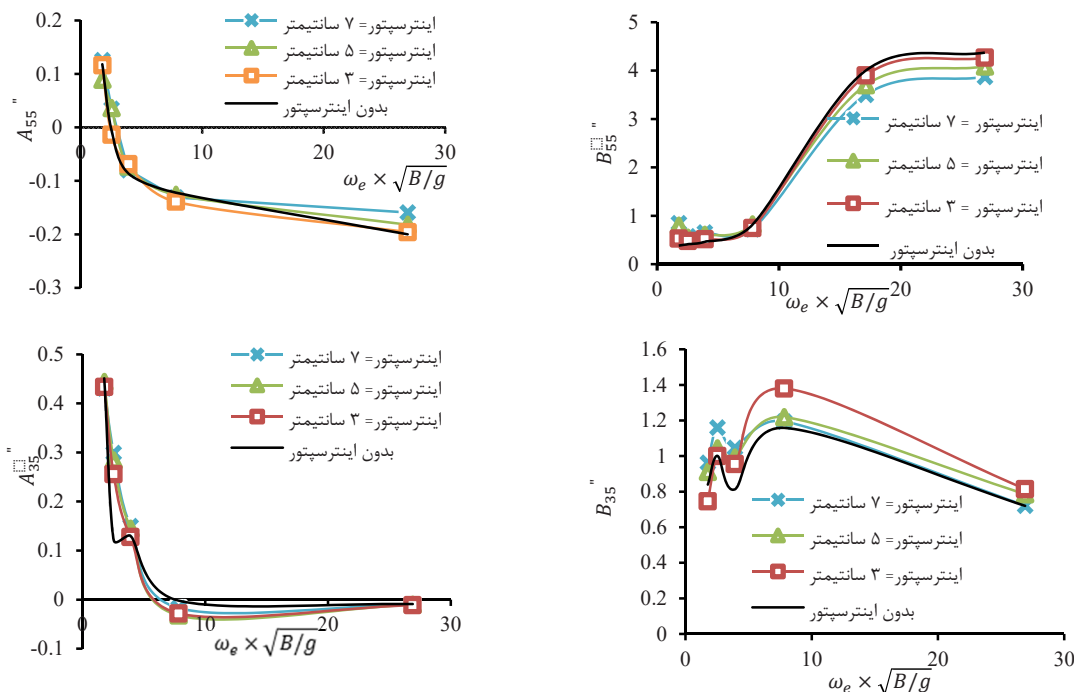
ضریب هیدرواستاتیکی	مقادیر
C <sub>33</sub> (N/m)	305311.71
C <sub>53</sub> (N)	915935.13
C <sub>35</sub> (N)	915935.13
C <sub>55</sub> (Nm)	2747805.4

## ۶-۲- محاسبه ضرایب هیدرودینامیکی کاتاماران

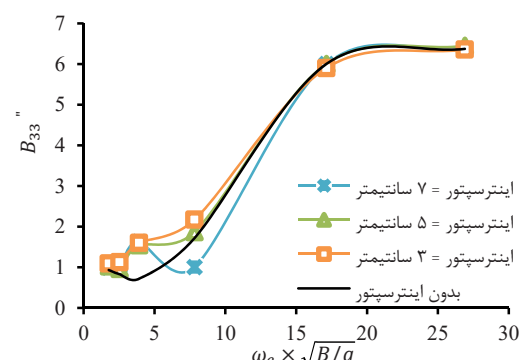
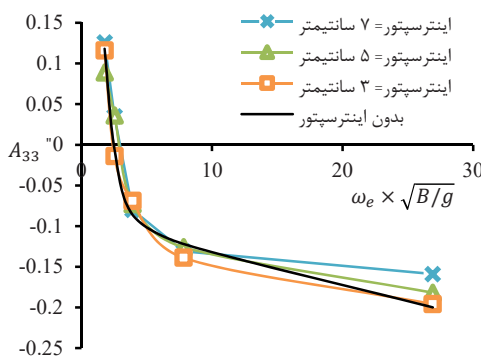
بدون

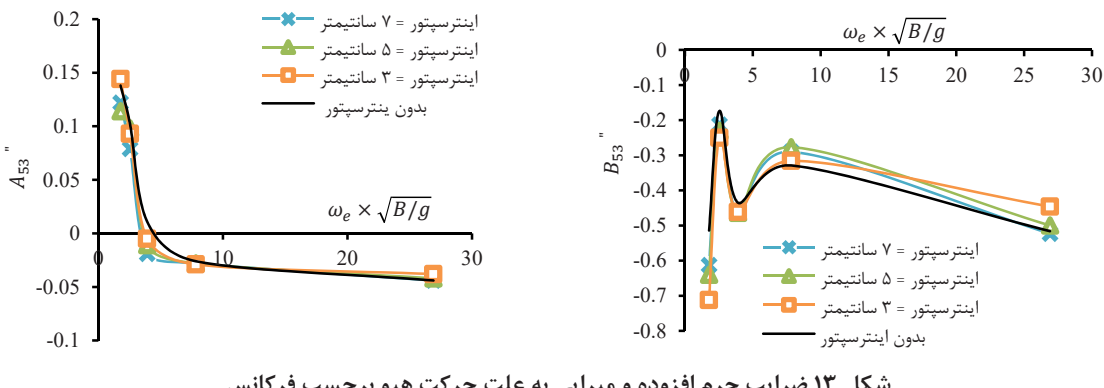
اینترسپتور و با اینترسپتور

این قسمت نتایج مربوط به ضرایب هیدرودینامیکی کاتاماران بدون اینترسپتور و با اینترسپتور که از حل عددی به دست آمده‌اند را ارائه می‌دهد. برای تعیین ضرایب C<sub>ij</sub> هیدرودینامیکی کاتاماران، ابتدا باید ضرایب استاتیکی تعیین شوند. این ضرایب وابسته به سطح آبخور کاتاماران هستند که با استفاده از روش سیمسون به صورت جدول ۵



شکل ۱۲- ضرایب جرم افزوده و میرایی به علت حرکت پیچ بر حسب فرکانس





شکل ۱۳ ضرایب جرم افزوده و میرایی به علت حرکت هیو بر حسب فرکانس

مؤثر و دقیقی خواهد بود که با صرف کمترین زمان و هزینه، امکان بررسی پارامترهای مختلف بر ضرایب هیدرودینامیکی را نیز فراهم می‌آورد.

۲. ضرایب هیدرودینامیکی جرم افزوده و میرایی مربوط به کاتاماران با اینترسپتور و بدون اینترسپتور در فرکانس‌های بالا مستقل از فرکانس می‌باشند.
۳. تأثیر اینترسپتور بر ضرایب هیدرودینامیکی جرم افزوده، در تمامی فرکانس‌ها قابل صرف‌نظر است و برای ضرایب هیدرودینامیکی میرایی تأثیر اینترسپتور، در فرکانس‌های زیاد که معادل سرعت‌های بالاست، قابل چشم‌پوشی است.

#### ۸- مراجع

- [1] Hsu, C. C. 1967 "On the Motions of High Speed Planing Craft", Hydro-nautics, Inc., Technical Report 603-1, Laurel, Md.
- [2] Altman, R. 1968 "The Steady-state and oscillatory hydrodynamics of a 20 degree deadrise planing surface", Hydro-nautics, Inc., Technical Report 603-2, laurel, Md.
- [3] Fridsma, G. 1969 "A systematic study of rough-water performance of planing boats", Davidson Laboratory, Report No. 1275, Stevens Institute of Technology, Hoboken, N.J
- [4] Fridsma, G. 1971 "A systematic study of rough-water performance of planing boats (irregular waves-parts 2)", Davidson Laboratory, Report No. DL-71-1495, Stevens Institute of Technology, Hoboken, N.J
- [5] Ogilive, T. F., Shen, Y-T. 1973 "Flutter-like oscillations of a planing

#### ۷- نتیجه‌گیری

حرکت و شتاب‌های زیاد در شناورها بخصوص در شناورهای تندر و تأثیر منفی بر روی عملکرد شناور، خدمه، مسافرین و تجهیزات دارد. بدین‌منظور برای کنترل این حرکات و شتاب‌ها از سیستم‌های کنترل حرکت استفاده می‌شود که سبب کاهش حرکات و شتاب‌های ناخوشایند خواهند شد. در این راستا در شناورهای تندر و المان کنترلی که بیشتر مورداستفاده قرار می‌گیرد، اینترسپتور است که به صورت یک تیغه در پاشنه شناور نصب می‌شود و با تغییر ارتفاع حرکات شناور را کنترل می‌کند. یکی از سوالاتی که در این حوزه مطرح می‌شود تأثیر اینترسپتور بر ضرایب معادلات حرکت این شناورها است که تاکنون به این سؤال پاسخی داده نشده است. برای پاسخ به این سؤال دو رویکرد تجربی و عددی وجود دارد. در گذشته به علت کمبود امکانات سخت‌افزاری کامپیوتر، استفاده از روش‌های تجربی جهت بررسی هیدرودینامیک شناورها بسیار موردنظر بوده است. روش‌های تجربی معمولاً بسیار هزینه‌بر بوده و امکان آمده‌سازی تجهیزات آزمایشگاهی برای هر تحقیق علمی وجود ندارد. با پیشرفت علم در زمینه سخت‌افزار کامپیوترها، امکان استفاده از کامپیوترها جهت بررسی هیدرودینامیک شناورها فراهم شده است. در این مقاله با گسترش یک آزمایشگاه مجازی که در آن معادلات RANS حل می‌شوند، به استخراج ضرایب هیدرودینامیکی شناورهای تندر و پرداخته می‌شود. نتایج زیر از این تحقیق قابل برداشت است:

۱. استفاده از روش عددی برای تعیین ضرایب هیدرودینامیکی شناورهای تندر و که در آن معادلات RANS به همراه پیوستگی حل می‌شوند، روش بسیار

- [17] CHEN, H. C., LIU, T., HUANG, E. T. 2001 "Time-domain simulation of large amplitude ship roll motions by a chimera RANS method", Proceedings, 11th International Offshore and Polar Engineering Conference, June 17–22, Stavanger, Norway, vol. 3, 299–306.
- [18] MILLER, R., GORSKI, J., FRY, D. 2002 "Viscous roll prediction of a cylinder with bilge keels", Proceedings, 24th Symposium on Naval Hydrodynamics, July, Fukuoka, Japan.
- [19] SATO, Y., MIYATA, H., AND SATO, T. 1999 "CFD simulation of 3-dimensional motion of a ship in waves: application to an advancing ship in regular head waves", Marine Science and Technology, 4, 108–116.
- [20] CURA HOCHBAUM, A., VOGT, M. 2002 "Towards the simulation of seakeeping and maneuvering based on the computation of free surface viscous ship flow", Proceedings, 24th Symposium on Naval Hydrodynamics, July, Fukuoka, Japan
- [21] PATERSON, E. G., WILSON, R. V., and STERN, F. 2003 "General Purpose Parallel Unsteady RANS Ship Hydrodynamics Code": CFDShip-IOWA, IIHR Report 432, Iowa Institute of Hydraulic Research, University of Iowa, Iowa City, IA, November.
- [22] RHEE, S., STERN, F. 2001 "Unsteady RANS method for surface ship boundary layer and wake and wave field", International Journal of Num. Meth. Fluids, 37, 445–478.
- [23] STERN, F., WILSON, R. V., COLEMAN, H., PATERSON, E. 2001 "Comprehensive approach to verification and validation of CFD simulations"— part 1: methodology and procedures, ASME Journal of Fluids Engineering, 123, 793–802.
- [24] TAHARA, Y., PATERSON, E., STERN, F., AND HIMENO, Y. 2000 "CFD-based optimization of naval surface combatant", Proceedings, 23rd ONR Symposium on Naval plate", Department of Naval Architecture and Marine Engineering, Report No. 146, The University of Michigan, Ann Arbor.
- [6] De Zwaan, A.P. 1973 "Oscillation eproeven met even planerendo wig". Report No. 376.M, Baboratorium voor scheepsbouwkunde, Technische Hogeschool, Delf, The Netherland
- [7] Martin, M. 1978a "Theoretical determination of porpoising instability of high speed planing boats", Journal of Ship Research, 22, 1, March
- [8] Martin, M. 1978b "Theoretical prediction of motions of high speed planing boats in waves", Journal of Ship Research, 22, 3, Sept
- [9] Munk, M. 1924 "The aerodynamic forces on airship hulls", NACA Report No. 184, National Advisory Committee for Aeronautics.
- [10] Wagner, H. 1931 "A nonlinear mathematical model of motions of a planing boat in regular waves", DTNSRDC Report 78/032, David W. Taylor Naval Ship Research and Development Center, Bethesda, Md.
- [11] White, J. A, Savitsky, D. 1988 "Seakeeping predictions for USCG hard chine patrol boats", SNAME, New York Metropolitan Section, June
- [12] Payne, P. R. 1990 "Boat 3D- a time-domain computer program for planing craft", Payne Associates, Stenensville, Md
- [13] Troesch, A. W. "On the hydrodynamics of vertically oscillating planing hulls", Journal of Ship Research, Vol. 36, No.4, pp. 317-331,
- [14] G. J. Grigoropoulos, et al., "Transient waves for ship and floating structure testing," Elsevier Science, 1994.
- [15] J.J.M.J.Journee, "comparative Motion Calculations of FLOKSTRA container Ship Model," Delft University of Technology, Netherlands, Updated 2001, April 1997.
- [16] C. Stephen M. Cook, Kim Klaka, "Investigation into Wave Loads and Catamarans," Hydrodynamics of High Speed Craft Conference (RINA), 24-

- Performance', Naval Engineers Journal, May, 1987
- [34] J.F. Tsai, J.L. Hwang, S.W. Chau, and S.K. Chou, 'Study of Hydrofoil Assistance Arrangement for Catamaran with Stern Flap and Interceptor', FAST 2001, Southampton, UK, Sep., 2001
- [35] Sverre Steen, Sverre Andres Alterskjar, Andress Velgaard, Ingebjorn Aasheim, "Performance of a planning craft with mid-mounted interceptor", Fast 2009, Greece, October 2009.
- [36] F. R. Menter, M. Kuntz, and R. Langtry, "Ten Years of Industrial Experience with the SST Turbulence Model," Turbulence, Heat and Mass Transfer, 2003
- [37] J. H. Ferziger and M. Peric, "Computational Methods for Fluid Dynamics": Springer, 1999
- Hydrodynamics, September, Val de Reuil, France.
- [25] WILSON, R., PATERSON, E., AND STERN, F. 2000 "Verification and validation for RANS simulation of a naval combatant", Proceedings, Gothenburg 2000: A Workshop on Numerical Ship Hydrodynamics, Chalmers University of Technology, September, Gothenburg, Sweden.
- [26] Weymouth, G. D, Wilson, R. V, Stern, F., "RANS Computational Fl +69uid Dynamics Predictions of Pitch and Heave Ship Motions in Head Seas", Journal of Ship Research, Vol. 49, No. 2, June 2005, pp. 80–97
- [27] P. M. Carrica, R. V. Wilson, R. W. Noack, and F. Stern, "Ship motions using single-phase level set with dynamic overset grids," Computers & fluids, vol. 36, pp. 1415-1433, 2007.
- [28] L. Larsson, F. Stern, and M. Visonneau, "Gothenburg 2010, A Workshop on Numerical Ship Hydrodynamics," 2010
- [29] S. H. S. Hosseini, "CFD prediction of ship capsizing: parametric rolling, broaching, surf-riding, and periodic motions," Ph.D., Mechanical Engineering, University of Iowa, 2009.
- [30] JOURNEE, J. M. J. 1992 "Experiments and Calculations on Four Wigley Hull forms", Delft University of Technology, Ship Hydrodynamic Laboratory, Report No. 909, February.
- [31] M. S. Seif, A. Vafaeesefat, M. Tavakoli Dakhrahbadi, Hull form hydrodynamic optimization of high speed planing craft with variable deadrise angle by using genetic algorithm, Modares Mechanical Engineering, Vol. 12, No. 4, pp. 80-90, 2012. (In Persian)
- [32] P. Ghadimi, A. Dashtimanesh, Y. Faghfoor, "Initiating a mathematical Model for Prediction of DOF Motion of Planing Crafts in Regular Waves", Hindawi Publishing Corporation International Journal of Engineering Mathematics, Volume 2013, Article ID 853793, 15 pages
- [33] Karafiath, and S.C. Fisher, 'The effect of Stern Wedges on Ship Powering